

## معرفی تلفیق طیفی اسلپین کروی و بررسی آن بر روی مدل‌های جهانی و منطقه‌ای یونسفري

حسین اعتمادفرد<sup>۱\*</sup>، مسعود مشهدی حسینعلی<sup>۲</sup>

۱- دانشجوی دکتری مهندسی نقشه‌برداری، گروه ژئودزی دانشکده صنعتی خواجه نصیرالدین طوسی  
۲- دانشیار گروه ژئودزی دانشکده نقشه‌برداری دانشگاه صنعتی خواجه نصیرالدین طوسی

تاریخ دریافت مقاله: ۱۳۹۴/۱۲/۲۹ تاریخ پذیرش مقاله: ۱۳۹۵/۰۲/۲۹

### چکیده

یکی از مشکلات حاکم بر مدل‌های یونسفري موجود، عدم تعامل و فقدان قابلیت ترکیب بین مدل‌های جهانی است. این تحقیق به بررسی نحوه برهمکنش بین مدل‌های جهانی و منطقه‌ای یونسفري مبتنی بر توابع پایه ریاضی پرداخته است. از آنجایی که توابع پایه اسلپین کروی قابلیت تعریف بر روی کل کره (مدل جهانی) و بخش از کره (مدل منطقه‌ای) را دارند، مبنای تلفیق طیفی قرار گرفته‌اند. دو دسته توابع پایه اسلپین کروی با ضرایب مختلف برای تلفیق طیفی (ترکیب مدل‌ها) مفروض هستند. ضرایب یک دسته که مربوط به مدلسازی با داده‌های منطقه‌ای (مدلسازی مستقیم) است؛ از مدلسازی توسط ایستگاه‌های محلی به دست آمده‌اند. دسته دیگر حاصل از ضرایب هارمونیک‌های کروی و یا تبدیل یافته مدل هارمونیک کروی به اسلپین کروی (مدلسازی غیرمستقیم) در یک زیرفضای مکانی برابر با دسته اول است. به منظور پیاده‌سازی تئوری تلفیق طیفی، درجه و مرتبه بیشینه مطابق با محصولات یونسفري سرویس‌های بین‌المللی برابر با ۱۵ در نظر گرفته شده است. محدوده جغرافیایی مطالعاتی نیز محدوده قطب شمال فرض شده است؛ که تقریباً عرض‌های جغرافیایی بالاتر از ۶۰ درجه را به صورت کلاهک کروی پوشش می‌دهد. فرآیند درستی آزمایی با مشاهدات گیرنده‌های دو فرکانسه ۳ ایستگاه مشاهداتی که در مدلسازی جهانی و مستقیم حضور نداشتند، انجام شده است. ریشه میانگین مربعات خطاهای حاصل از درستی آزمایی برای مدل‌های جهانی، غیرمستقیم، مستقیم و تلفیقی به ترتیب، ۳/۷، ۲/۲، ۱/۹ و ۱/۴ واحد محتوای کلی الکترونی می‌باشد. به عبارت دیگر، نتایج تلفیق طیفی مدل‌های مستقیم و غیرمستقیم نشان از صحت بیشتر این نوع مدل‌سازی ایستگاه‌ها در مدل‌سازی مستقیم را کم کرد. بنابراین خطای روش تلفیقی به صورت کلی کمتر از دو روش دیگر است.

واژه‌های کلیدی: تلفیق طیفی، اسلپین کروی، یونسفري.

\* نویسنده مکاتبه کننده: تهران، خیابان ولی‌عصر، بالاتر از تقاطع میرداماد، دانشکده مهندسی نقشه‌برداری دانشگاه صنعتی خواجه نصیرالدین طوسی.

تلفن: ۰۲۱-۸۸۷۸۶۲۱۲

## ۱- مقدمه

تقسیم‌بندی می‌شوند؛ که می‌توان برای هر یک نمونه‌هایی را ذکر کرد. به دلیل نبود فضای قیاس و مبنای یکسان، بدون شک ترکیب مدل‌های یونسفری با مبنای‌های متفاوت ممکن نیست. به عنوان مثال نمی‌توان مدلی تجربی را با مدلی فیزیکی ترکیب کرد. از طرف دیگر حتی در مدل‌های ریاضی هم امکان ترکیب وجود ندارد. به عنوان مثال نمی‌توان مدل مبتنی بر توابع پایه هارمونیک کروی را با مدل ایجاد شده بر اساس توابع پایه مثلثاتی کروی ترکیب کرد؛ چرا که توابع پایه هارمونیک‌های کروی جواب حاصل از حل معادله لایپلاس روی کرده است؛ در حالی که توابع کروی این خاصیت را ندارند. نمونه مذکور یکی از بهترین نمونه‌هایی است که توابع پایه قرابت مبنایی ظاهری بسیار زیادی با هم داشته ولی باز هم قابلیت ترکیب ندارند.

این تحقیق به دنبال بررسی امکان ترکیب دو مدل ریاضی جهانی و مدل ریاضی منطقه‌ای است. تنها ترکیب دو مدل در فضایی ممکن است که مبنای توابع یکی باشند. اینجاست که بایستی به دنبال توابعی بود که ویژگی تعریف جهانی و منطقه‌ای را در خود داشته باشند. تئوری تمرکز مکان طیفی به صورت بهینه در منطقه مدنظر بر روی سیگنال‌های با باند طیفی محدود تعریف شده است. این تئوری می‌تواند فضای مناسبی جهت ترکیب توابع پایه مدل‌های جهانی و منطقه‌ای فراهم نماید. اولین مطالب در تعریف تئوری تمرکز طیفی توسط دیوید اسلپین<sup>۱</sup> و همکاران در طی سال‌های ۱۹۶۱ تا ۱۹۷۸ به صورت مجموعه مقالاتی منتشر شد [۱، ۲، ۳ و ۴]. این مجموعه مقالات به بررسی مساله تمرکز طیفی در یک بعد پرداخته‌اند. در مطالعات اخیر در این زمینه سیمونز و همکاران در سال ۲۰۰۶ تئوری اسلپین را برای هارمونیک‌های کروی باند محدود بسط دادند [۵، ۶ و ۷].

در این تحقیق دو دسته توابع اسلپین کروی با

عمولاً مدل‌های متعددی برای رفتار یک پدیده طبیعی معرفی می‌شوند. این مدل‌ها می‌توانند مبتنی بر مکانیزم‌های فیزیکی، مشاهدات روابط تجربی و یا مدل‌های صرفاً ریاضی باشند. یکی از مشکلات حاکم بر مدل‌های موجود، عدم تعامل و فقدان قابلیت ترکیب بین مدل‌های است. به عبارت دیگر نمی‌توان از ترکیب مدل‌های موجود به مدلی مناسب‌تر برای تخمین رفتار پدیده‌ها رسید.

برخی از مدل‌های فیزیکی تنها با پاره‌ای از مشاهدات ورودی مدل‌سازی انجام می‌دهند و قابلیت استفاده از دیگر مدل‌ها را ندارند. از طرف دیگر مدل‌های تجربی با داده‌های ویژه و در بازه‌های زمانی خاصی مورد اعتماد هستند. مضاف بر دو دسته فوق مدل‌های ریاضی نیز صرفاً بر اساس تعریف توابع پایه شکل می‌گیرند؛ که تنوع در توابع پایه آن‌ها، احتمال ترکیب و تلفیق بین آن‌ها را کاهش می‌دهد. در ضمن موارد فوق را می‌توان به مدل‌های جهانی و منطقه‌ای نیز تقسیم‌بندی کرد. در این صورت تعامل و ترکیب مدل‌ها روند پیچیده‌تری را می‌گیرد. در این تحقیق بررسی نحوه برهمکنش بین مدل‌های جهانی و منطقه‌ای مبتنی بر توابع پایه ریاضی مورد توجه قرار گرفته است.

به منظور بررسی دقیق‌تر، در این تحقیق به رفتار یونسفر به عنوان لایه بسیار مهم در مطالعات جوی پرداخته شده است. یونسفر به عنوان لایه‌ای از اتمسفر با الکترون‌های آزاد، شناخته می‌شود. این لایه از ارتفاع ۱۰۰۰ کیلومتری سطح زمین شروع و تقریباً تا ۱۰۰ کیلومتری آن ادامه می‌یابد. مدل‌سازی رفتار این لایه به دلیل تاثیر زیاد بر روی مشاهدات سیستم‌های تعیین موقعیت ماهواره‌ای از اهمیت بسیاری برخوردار است. به همین دلیل مدل‌های یونسفری زیادی تولید، پیش‌بینی و عرضه می‌شوند.

همانند دسته‌بندی فوق، این مدل‌ها نیز عمولاً به سه دسته فیزیکی، تجربی و ریاضی

<sup>۱</sup> Slepian

اسلپین کروی و مشاهدات دو فرکانسه سامانه تعیین موقعیت جهانی<sup>۱</sup> پرداخته می‌شود. در این تحقیق این روش را مدلسازی مستقیم نام‌گذاری کردند. زیر بخش ۳-۲ نیز به روش تلفیق طیفی بین این دو مدل اختصاص داده شده است.

### ۱-۲ مدل اسلپین از توابع هارمونیک کروی:

در اینجا توابع هارمونیک کروی و ضرایب آن به عنوان گام نخست کار قرار می‌گیرند. توابع هارمونیک کروی ترکیبی از بسط سری فوریه مثلثاتی روی طول جغرافیایی و تابع لزاندر روی عرض جغرافیایی به عنوان توابع پایه متعامد روی سطح کره شناخته شده هستند. بیان ریاضی مولفه قائم محتوای کلی الکترونی<sup>۲</sup> (VTEC) با استفاده از توابع هارمونیک کروی به شکل رابطه (۱) می‌باشد [۱، ۲، ۳ و ۴]:

رابطه (۱)

$$VTEC(\theta_{Ipp}, \lambda_{Ipp}) = \sum_{l=0}^K \sum_{m=-l}^l \psi_{lm} Y_{lm}(\theta_{Ipp}, \lambda_{Ipp}) \quad \text{رابطه (۲)}$$

$$Y_{lm}(\theta_{Ipp}, \lambda_{Ipp}) = \begin{cases} \sqrt{2} X_{lm}(\theta_{Ipp}) \cos(m\lambda_{Ipp}) & \text{if } 0 < m \leq l \\ X_{l0}(\theta_{Ipp}) & \text{if } m = 0 \\ \sqrt{2} X_{lm}(\theta_{Ipp}) \sin(m\lambda_{Ipp}) & \text{if } -l \leq m < 0 \end{cases} \quad \text{رابطه (۳)}$$

$$X_{lm}(\theta_{Ipp}) = (-1)^m \left( \frac{2l+1}{4\pi} \right)^{1/2} \left[ \frac{(l-m)!}{(l+m)!} \right]^{1/2} P_{lm}(\cos \theta_{Ipp}) \\ P_{lm}(\mu) = \frac{1}{2^l l!} (1-\mu^2)^{l/2} \left( \frac{d}{d\mu} \right)^{l+m} (1-\mu)^l \quad \text{رابطه (۴)}$$

در اینجا  $P_{lm}$  تابع لزاندر است. مبنای تعریف توابع پایه هارمونیک کروی بر روی سطح کره اجازه نوشتند رابطه (۵) را می‌دهند:

$$\int_{\Omega} Y_{lm} Y_{l'm'} d\Omega = \delta_{ll'} \delta_{mm'} \quad \text{رابطه (۵)}$$

<sup>1</sup> Global Positioning System (GPS)

<sup>2</sup> Vertical Total Electron Content (VTEC)

ضرایب مختلف برای تلفیق طیفی (ترکیب مدل‌ها) مفروض هستند. ضرایب یک دسته، مربوط به مدلسازی با داده‌های منطقه‌ای است. جزئیات این روش و نحوه مدلسازی آن در مقاله‌ای تحت عنوان اسلپین کروی به عنوان یک روش جدید جهت مدلسازی یونسfer در قطب شمال آمده است [۸]. دسته دیگر حاصل از ضرایب هارمونیک‌های کروی و یا تبدیل یافته مدل هارمونیک کروی به اسلپین در یک زیرفضای مکانی برابر با دسته اول است [۹]. این دسته را می‌توان از مدل‌های هارمونیک کروی موجود که توسط سرویس‌های بین‌المللی در اختیار کاربران قرار می‌گیرند، محاسبه کرد. این پژوهش تلفیق طیفی این دو مدل با ضرایب مختلف را پیشنهاد می‌دهد که به نام تلفیق طیفی اسلپین کروی معرفی می‌شود. تئوری و روش انجام تلفیق طیفی اسلپین کروی برای نخستین بار در این تحقیق معرفی و مورد بررسی قرار گرفته است.

در بخش دوم این تحقیق ابتدا به معرفی دو روش مدلسازی برای توابع پایه اسلپین پرداخته و سپس روش ترکیب آن‌ها توضیح داده می‌شود. بخش سوم به پیاده‌سازی این روش در ناحیه قطب شمال به عنوان مورد مطالعاتی اختصاص داشته و در آخر هم جمع‌بندی و نتیجه‌گیری آورده شده است.

### ۲- تئوری مسئله

در این بخش ابتدا تعریف تئوری اسلپین کروی مورد بحث قرار گرفته و سپس روش‌های محاسبه ضرایب مربوط به توابع اسلپین کروی آورده می‌شود. در زیربخش ۱-۲ نحوه محاسبه توابع پایه اسلپین کروی از توابع هارمونیک کروی مورد تعریف قرار می‌گیرد. در ادامه چگونگی برآوردن ضرایب نظیر آن‌ها از ضرایب هارمونیک کروی مدل‌های جهانی بررسی می‌شود. در اینجا این نوع مدلسازی را مدلسازی غیر مستقیم می‌نامیم. در زیربخش ۲-۲ به مدلسازی یونسfer با توابع پایه

خواهیم داشت:

$$\beta = \frac{\sum_{l=0}^K \sum_{m=-l}^l \psi_{lm} \sum_{l'=0}^K \sum_{m'=-l'}^{l'} D_{lm,l'm'} \psi_{l'm'}}{\sum_{l=0}^K \sum_{m=-l}^l \psi_{lm}^2} \quad (7)$$

در اینجا می‌توان گفت:

$$D_{lm,l'm'} = \int_R Y_{lm} Y_{l'm'} d\Omega \quad (8)$$

رابطه (8) را می‌توان به گونه‌ای دیگر از رابطه (5) استخراج کرد. ماتریس  $D$  ماتریسی با ابعاد  $(l+1)^2 \times (l+1)^2$  می‌باشد. البته لازم به ذکر است که اگر رابطه فوق به صورت ماتریسی نوشته شود، می‌توان همان مسئله جبری مقادیر ویژه را استخراج کرد [۵].

یعنی:

$$\lambda \psi = D \psi \quad (9)$$

از این پس به دنبال شیوه محاسبه ماتریس  $D$  خواهیم بود. ماتریس  $D$  را می‌توان به زیرماتریس‌هایی به شکل رابطه (10) تقسیم کرد [۵].

$$D = \text{diag}\{D_0, D_1, D_2, \dots, D_K, D_K\} \quad (10)$$

در این رابطه  $D_0$  نشان‌دهنده محاسبه  $D_{0,0}$  است. یعنی محاسبه ماتریس  $D$  در حالتی که مرتبه آن صفر است. به منظور محاسبه رابطه (8) و رابطه (3) خواهیم داشت [۵]:

$$X_{lm}(\theta_{ipp}) X_{l'm}(\theta_{ipp}) = (-1)^n \sum_{n=|l-l'|}^{l+l'} \sqrt{\frac{(2n+1)(2l+1)(2l'+1)}{4\pi}} \times \begin{pmatrix} l & n & l' \\ 0 & 0 & 0 \end{pmatrix} \begin{pmatrix} l & n & l' \\ m & 0 & -m \end{pmatrix} X_{n0}(\theta_{ipp}) \quad (11)$$

حال می‌توان با استفاده از بردارهای ویژه به دست آمده، توابع پایه اسلپین را در منطقه مدنظر ساخت [۸]:

$$S_{jm} = V_{jm}^T Y_{jm} \quad (12)$$

همچنین به روش مشابه می‌توان ضرایب این توابع پایه جدید را محاسبه کرد [۸]:

$$\Psi_{jm} = V_{jm}^{-1} \psi_{jm} \quad (13)$$

اینجا  $\delta$  دلتای کرونکر،  $\Omega$  سطح کره و  $d\Omega$  سطحی انتگرال گیری می‌باشند. از آنجایی که رابطه (5) فقط و فقط بر روی تمامی سطح کره صدق می‌کند، قطعاً توابع مربوط به هارمونیک‌های کروی روی بخشی از کره متعامد نیستند. حال مسئله این است که با استی به دنبال متعامد کردن توابع و بهینه کردن تمرکز آن‌ها در سطح منطقه مدنظر بود. بدین منظور تئوری اسلپین می‌تواند کارگشا باشد. تئوری اسلپین به دنبال به حداقل رساندن انرژی یک سیگنال بیرون منطقه مدنظر و یا به عبارت دیگر ماقزیم کردن انرژی سیگنال‌های داخل منطقه مذکور است. این تئوری توسط سیمونز بر روی هارمونیک‌های کروی بدین گونه بیان شد که نسبت انرژی بر روی بخشی از سطح کره به انرژی بر روی کل کره ماقزیم شود [۵]. بر اساس تعاریف، این تئوری به صورت رابطه (6) فرموله می‌شود [۸]:

$$\text{رابطه (6)}$$

$$\beta = \frac{\|VTEC(\theta_{ipp}, \lambda_{ipp})\|_R^2}{\|VTEC(\theta_{ipp}, \lambda_{ipp})\|_\Omega^2} = \frac{\int_R VTEC^2(\theta_{ipp}, \lambda_{ipp}) d\Omega}{\int_\Omega VTEC^2(\theta_{ipp}, \lambda_{ipp}) d\Omega} = \max.$$

در اینجا  $R$  سطح منطقه مدنظر و  $\Omega$  میزان نسبت تمرکز انرژی سیگنال‌های داخل منطقه به انرژی سیگنال‌های روی کل کره، بر مبنای نسبت فوق  $0 < \beta < 1$  می‌باشند. که البته با جایگذاری رابطه (1) در رابطه فوق

در این رابطه آرایه‌های فوق نماد ویگنر  ${}^1 3j$ <sup>1</sup> هستند [۱۰]. پس از محاسبه ماتریس  $D_m$  با استی آن را به مقدارها و بردارهای ویژه تبدیل کرد:

$$D_m = V_m \Lambda_m V_m^{-1} \quad (12)$$

در این رابطه  $V_m$  بردارهای ویژه و  $\Lambda_m$  مقدارهای ویژه برای مرتبه  $m$  در درجات از  $m$  تا 1 می‌باشد.

<sup>1</sup> 3j-Wigner

نیم ساعته) از این اختلاف میانگین‌گیری کرده و در آخر مقدار حاصل را به مقادیر رابطه (۱۶) اضافه می‌کنیم. در ادامه روابط محاسبات فوق آمده است [۱۲].

$$\Delta STEC_i = STEC_{p,i} - STEC_{L,i} \quad \text{رابطه (۱۷)}$$

$$\Delta STEC_M = \frac{\sum_{i=1}^M \Delta STEC_i}{M} \quad \text{رابطه (۱۸)}$$

$$STEC_{smooth} = STEC_L + \Delta STEC_M \quad \text{رابطه (۱۹)}$$

پس از آماده شدن مقادیر مشاهدات بایستی آن‌ها در راستای عمود بر کره واحد (که قرار است مشاهدات بر روی آن تصویر شوند). تصویر شوند که برای این منظور از رابطه زیر استفاده می‌شود:

$$VTEC = \cos(z) \times STEC_{smooth} \quad \text{رابطه (۲۰)}$$

در اینجا  $z$  زاویه ارتفاعی بین امتداد عمود در نقطه نفوذ در لایه یونسفر بر روی کره واحد تا امتداد ماهواره و گیرنده است. پس از مهیا کردن مشاهدات بایستی آن‌ها را در مدل مشاهده زیر گذاشته و به روش کمترین مربعات حل کنیم:

$$L = AX \quad \text{رابطه (۲۱)}$$

در اینجا  $L$  ماتریس مشاهدات،  $X$  ماتریس ضرایب مجهول توابع اسلپین کروی و  $A$  ماتریس ساختار می‌باشند. لازم به ذکر است که بایستی در سرشکنی به روش کمترین مربعات، ماتریس وزن مشاهدات نیز وارد شود. این ماتریس از اعمال قانون انتشار خطاهای بر روی روابط ۱۵ تا ۲۰ به دست می‌آید.

### ۲-۳- تلفیق طیفی اسلپین کروی

در این قسمت بایستی دو مدل غیر مستقیم و مستقیم حاصل از روابط فوق تلفیق شوند. نکته حائز اهمیت در این تلفیق طیفی، مشابه بودن توابع پایه این دو دسته است. به منظور تلفیق طیفی این دو دسته مدل ضرایب نظری به نظری مدل‌ها به صورت زیر محاسبه می‌شوند:

### ۲-۴- مدل اسلپین از مشاهدات مستقیم

در این بخش بایستی ضرایب متناسب با هر یک از توابع پایه به دست آمده از رابطه (۱۳) با استفاده از مشاهدات برآورد شود. به عبارت دیگر بایستی مدل مشاهده را ساخته و ضرایب مجهول را به دست آوریم. از آنجایی که مشاهدات در این تحقیق بر اساس مشاهدات دو فرکانس GPS استخراج شده، در گام نخست بایستی مشاهدات را از فایل‌های خام مشاهداتی فراخوانی و به صورت زیر برای ورود در معادلات مشاهدات آماده شوند [۱۱]:

$$STEC_p = \frac{f_1^2(P_1 - P_2 - B_i - B^p)}{40.3(\frac{f_1^2}{f_2^2} - 1)} \quad \text{رابطه (۱۵)}$$

$$\text{رابطه (۱۶)}$$

$$STEC_L = \frac{f_1^2(\lambda_1 L_1 - \lambda_2 L_2 - \lambda_1 N_1 + \lambda_2 N_2 - b_i - b^p)}{40.3(\frac{f_1^2}{f_2^2} - 1)} \quad \text{رابطه (۱۷)}$$

در اینجا  $P_1$  و  $P_2$  مشاهدات کد،  $L_1$  و  $L_2$  مشاهدات فاز حامل،  $\lambda_1$  و  $\lambda_2$  به ترتیب طول موج مربوط به فرکانس‌های  $f_1 = 1575.42\text{MHz}$  و  $f_2 = 1127.60\text{MHz}$  و همچنین  $b_i$  و  $b^p$  بایاس‌های دستگاهی گیرنده و ماهواره در مشاهدات فاز حامل،  $B_r$  و  $B^p$  بایاس‌های دستگاهی گیرنده و ماهواره در مشاهدات کد و در آخر  $STEC_p$  و  $STEC_L$  محتوای الکترونی کل مسیر سیر سیگنال می‌باشند. از آنجایی که در رابطه (۱۶) اعداد ابهام فاز هر دو طول موج،  $N_1$  و  $N_2$  مشخص نیستند به تبع آن مقدار حاصل از رابطه (۱۶) بایاس داشته و قابل اعتماد نخواهد بود. به همین دلیل از این رابطه برای نرم کردن مقادیر حاصل از رابطه (۱۵) استفاده می‌شود. به منظور نرم‌سازی ابتدا بایستی اختلاف بین دو مقدار روابط (۱۵) و (۱۶) در هر اپک محاسبه شده، سپس بروی یک بازه زمانی کوتاه (به عنوان مثال

رابطه (۲۲)

$$\overline{VTEC}(\theta, \lambda) = \left( \sum_{j=1}^n \alpha_j \Psi_j^1 + \beta_j \Psi_j^2 \right) S_j(\theta, \lambda)$$

در اینجا  $\Psi_j^1$  ضرایب اسلپین کروی مدل غیر مستقیم،  $\Psi_j^2$  ضرایب اسلپین کروی مدل مستقیم می باشند.  $n$  تعداد توابع پایه اسلپین کروی استفاده شده و  $S_j(\theta, \lambda)$  تابع اسلپین کروی است.  $\alpha_j$  و  $\beta_j$  ضرایب مربوط به ترکیب طیفی هستند که به صورت زیر محاسبه می شوند:

رابطه (۲۳)

$$\alpha_j = \frac{\sigma_{j,1}^2}{\sigma_{j,1}^2 + \sigma_{j,2}^2}, \quad \beta_j = \frac{\sigma_{j,2}^2}{\sigma_{j,1}^2 + \sigma_{j,2}^2}$$

در اینجا  $\sigma_{j,1}$  و  $\sigma_{j,2}$  به ترتیب واریانس ضرایب مدل غیرمستقیم و مستقیم هستند. واریانس ضرایب مدل غیرمستقیم از اعمال قانون انتشار خطاهای بر روی دقت ضرایب هارمونیک کروی به دست خواهد آمد. واریانس ضرایب مدل مستقیم نیز از ماتریس واریانس کوواریانس سرشکنی کمترین مربعات مربوطه، قبل حصول است.

### ۳- پیاده سازی

به منظور پیاده سازی روش های ذکر شده در این تحقیق بایستی ابتدا منطقه مطالعاتی و بیشینه درجه و مرتبه هارمونیک های کروی مدنظر را تعیین کرد. بیشینه درجه و مرتبه مطابق با محصولات یونسفری سرویس بین المللی سامانه های تعیین موقعیت ماهواره ای<sup>۱</sup> برابر با ۱۵ در نظر گرفته شده است. محدوده جغرافیایی مطالعاتی نیز محدوده قطب شمال فرض شده است؛ که تقریباً عرض های جغرافیایی بالاتر از ۶۰ درجه را به صورت کلاهک کروی پوشش می دهد. بر اساس این منطقه و تعداد هارمونیک های کروی توابع پایه اسلپین کروی با رابطه (۱۳) ساخته می شوند. در ادامه ضرایب هارمونیک کروی با قدرت تفکیک

۱ ساعته برای روز اول دسامبر ۲۰۱۵، از وب سرویس CODE<sup>۲</sup> دانلود شده است[۱۳]. سپس از ضرایب هارمونیک کروی موجود استفاده کرده و با کمک رابطه (۱۴) ضرایب نظیر توابع اسلپین کروی ساخته می شوند. البته لازم به ذکر است که دقت این ضرایب اسلپین کروی با استفاده از قانون انتشار خطاهای بایستی محاسبه شود. این دقتها در قسمت ترکیب طیفی به کار می رود.

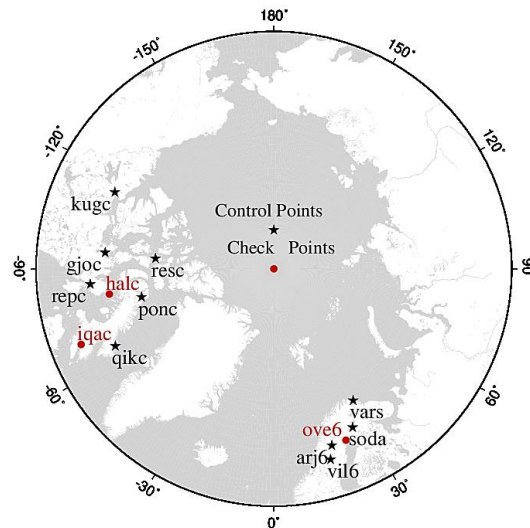
از آنجایی که این تحقیق به دنبال بررسی تلفیق طیفی اسلپین کروی دو مدل مختلف بوده است، مشاهدات ایستگاه های شبکه های منطقه ای شمال اروپا [۱۴] و بخش شمالی کانادا [۱۵] در روز یاد شده برای مدل سازی مستقیم مورد استفاده قرار گرفته است. در شکل (۱) موقعیت جغرافیایی این ایستگاه ها نشان داده شده است.

در شکل (۱) دو دسته ایستگاه مشاهداتی معرفی شده اند. دسته اول که به نام نقاط کنترل نشان داده شده اند و برای مدل سازی مستقیم به کار رفته اند. دسته دیگر (نقاط چک) ایستگاه های هستند که برای راستی آزمایی مدل ها و همچنین تلفیق طیفی پیشنهادی، به کار می رود. مورد بسیار مهم در گزینش این ایستگاه ها عدم حضور آن ها در مدل سازی مدل های جهانی است. شکل (۲) درک بهتری از نحوه انتخاب ایستگاه های کنترل و چک را به دست می دهد. در این شکل نقاط نفوذ در لایه یونسfer برای دو دسته ایستگاه آورده شده است. بر اساس این شکل می توان دید که مشاهدات یک ایستگاه در قسمت شمال اروپا و دو ایستگاه در شمال کانادا معیارهای نسبتاً منطقی (با توجه به وضع موجود) برای ارزیابی نتایج می باشند.

<sup>2</sup> Center of Orbit Determination in Europe (CODE)

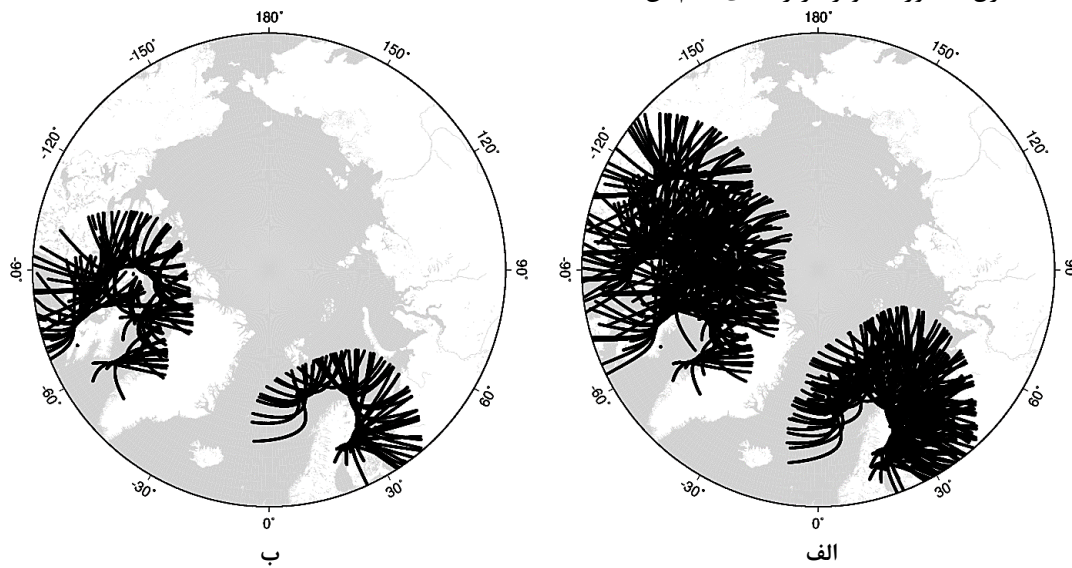
<sup>1</sup> International GNSS Service (IGS)

رابطه (۲۰) محاسبه شده و آن ها برای ورود به دستگاه معادلات مشاهدات آماده شوند. سپس با استفاده از تکنیک کمترین مربعات ضرایب توابع اسلپین کروی محاسبه می شود. دقت ضرایب محاسبه شده نیز یکی دیگر از خروجی های فرآیند کمترین مربعات است که در بخش ترکیب طیفی به کار گرفته می شوند. همان طور که در بالا آورده شده بود، جهت درستی آزمایی مدلسازی از مشاهدات ایستگاه های نقاط چک استفاده شده است. این تحقیق به دنبال بررسی چگونگی تلفیق طیفی بوده است؛ به همین دلیل فرآیند درستی آزمایی بر روی مدل های جهانی، بهبود یافته جهانی (مدل غیرمستقیم)، مستقیم و همچنین تلفیقی انجام شده است.



شکل ۱: موقعیت جغرافیایی نقاط مورد استفاده در مدلسازی مستقیم

پس از فرآیند نرم سازی مشاهدات گیرنده های ۱۰ ایستگاه کنترل مذکور، تصویر در راستای قائم آن ها با



شکل ۲: موقعیت مکانی نقاط نفوذ یونسferi (الف: ایستگاه های کنترل و (ب: ایستگاه های چک

شکل زیر مقادیر این کمیت را نشان می دهد.

بدین منظور مختصات نقاط نفوذ یونسferi مشاهدات هر ۳ ایستگاه در چهار مدل وارد شد. مقدار VTEC محاسبه شده از آن ها با مقدار مشاهداتی نظری آن نقاط نفوذ مقایسه شده و به صورت ریشه میانگین مربعات خطاهای<sup>۱</sup> برای هر بازه یک ساعته محاسبه شده است.

<sup>1</sup> Root Mean Square Error



شکل ۳: مقادیر RMSE برای مدل‌های جهانی، غیرمستقیم، مستقیم و تلفیقی در روز اول دسامبر سال ۲۰۱۵

یکی از دلایل کمتر شدن خطای مدل تلفیق طیفی، تلفیق اثرات طول موج‌های بلند و کوتاه یونوسفری موجود در مدل‌های غیرمستقیم و مستقیم است. دلیل دیگر به ویژگی منحصر به فرد منطقه مطالعاتی در این تحقیق مربوط است. در منطقه مطالعاتی قطب شمال (عرض جغرافیایی ۶۰° تا ۹۰°)، در بخشی از این کلاهک که رو به خورشید است علی القاعده روز و در بخش دیگر شب است. این نکته خود به پیچیدگی مدل‌سازی در این منطقه می‌افزاید. مدل غیرمستقیم که از مدل جهانی استخراج می‌شود، توزیع نسبتاً مناسبی از نقاط را در بخش شب و روز کره زمین در مدل‌سازی به کار می‌گیرد. ولی نقطه ضعف مدل‌های جهانی تعداد بسیار کم ایستگاه GNSS در قطب شمال است. بنابراین دقیت مدل‌سازی در این مناطق متأثر از تعداد کم ایستگاه‌ها است. حال آن‌که در مدل‌سازی مستقیم تعداد ایستگاه‌ها در منطقه مطالعاتی مناسب است؛ ولی در ساعتی از شب‌نهر روز که همه نقاط در روز یا در بخش شب قرار می‌گیرند، مدل دقیق و کیفیت ساعات دیگر خود را ندارد. به عبارت دیگر در مدل‌سازی مستقیم توزیع نامناسب ایستگاه‌ها دقیق مدل‌سازی را متأثر می‌کند. با توجه به این نکات، با تلفیق طیفی می‌توان اثرات تعداد

با توجه بالا بودن مقدار RMSE مدل جهانی در شکل فوق، می‌توان دریافت که مدل جهانی عملکرد نامناسبی در مناطق قطبی دارد. البته میزان این عدم کارایی پیش‌تر در مقاله اعتماد فرد و حسینعلی نشان داده شده بود [۹]. همچنین همان‌طور که در شکل (۳) دیده می‌شود در برخی ساعت‌ها عملکرد مدل غیرمستقیم از مدل مستقیم بهتر است. به عبارت دیگر بر اساس نتایج حاصل از نقاط چک، مدل غیرمستقیم خطای کمتری در مدل‌سازی دارد. سایر موارد مدل‌سازی مستقیم درستی بیشتری دارد. به منظور بررسی کلی میانگین RMSE در طول این بازه زمانی گرفته شد که این کمیت به ترتیب برای مدل غیرمستقیم و مستقیم برابر با  $\frac{1}{2} \pm \frac{1}{9}$  TECU باشد.

علاوه بر موارد فوق در شکل (۳) دیده می‌شود که میزان خطای مدل‌سازی در حالتی که تلفیق طیفی انجام می‌شود تقریباً از دو مدل فوق‌الذکر کمتر است. نکته دیگر که در شکل دیده می‌شود خطای نسبتاً یکسان مدل‌سازی در کل بازه زمانی مطالعاتی است. میزان میانگین RMSE در کل بازه مطالعاتی عددی برابر با  $\frac{1}{4}$  TECU است. این امر نشان‌دهنده کارایی تلفیق طیفی در مورد مطالعاتی این تحقیق است.

و  $2/2$  TECU به دست آمده‌اند. در آخر نتایج تلفیق طیفی مدل‌های مستقیم و غیرمستقیم نشان از صحت بیشتر مدل‌سازی داشت. به طوری RMSE حاصل از این تلفیق طیفی برابر با  $1/4$  TECU محاسبه شده است.

با تلفیق طیفی می‌توان اثرات تعداد کم ایستگاه‌ها در مدل‌سازی غیرمستقیم و توزیع نامناسب ایستگاه‌ها در مدل‌سازی مستقیم را کم کرد. بنابراین خطای روش تلفیقی به صورت کلی کمتر از دو روش دیگر است. همان‌طور که در بالا آورده شده بود، این تحقیق تنها به دنبال بررسی چگونگی امکان تلفیق طیفی دو مدل منطقه‌ای و جهانی بر روی مطالعاتی خاصی بوده است. به منظور بررسی عمیق‌تر در تحقیقات آتی پیشنهاد می‌شود که از توزیع ایستگاه‌های بیشتری در مناطق مطالعاتی استفاده شود. همچنین بازه زمانی بلندتری مورد مطالعه قرار بگیرد؛ چرا که امکان حضور تمامی پدیده‌های یونسفری در آن دیده شود.

کم ایستگاه‌ها در مدل‌سازی غیرمستقیم و توزیع نامناسب ایستگاه‌ها در مدل‌سازی مستقیم را کم کرد. بنابراین خطای روش تلفیقی به صورت کلی کمتر از دو روش دیگر است.

#### ۴- نتایج و پیشنهاد

این تحقیق برای اولین بار چالش ترکیب مدل‌های منطقه‌ای و جهانی را مورد بررسی قرار داد. به این منظور مدل‌های جهانی یونسفری را که بر مبنای توابع پایه هارمونیک هستند با مدل منطقه‌ای با توابع پایه اسلپین کروی در منطقه کلاهک کروی قطب شمال تلفیق طیفی انجام شد. بر اساس مقایسه مدل‌های جهانی، مدل‌سازی غیرمستقیم و مستقیم در منطقه مطالعاتی، مشخص شد که مدل‌های جهانی کارکرد مناسبی ندارند. علاوه بر این، دیده شد که هیچ‌کدام از دو مدل مستقیم و غیرمستقیم برتری مطلقی در کل بازه زمانی مدنظر ندارند. میانگین RMSE مدل‌های مستقیم و غیرمستقیم برای کل بازه زمانی به ترتیب مقادیر  $1/9$

#### مراجع

- [1] D. Slepian, and H. O. Pollak, “Prolate Spheroidal Wave functions Fourier Analysis and Uncertainty I.”, Bell Sys. Tech. J. 40, 1, 43–63, 1961.
- [2] D. Slepian, and E. Sonnenblick, “Eigenvalues associated with prolate spheroidal wave functions of zero order”, Bell Syst. Tech. J., 44, pp. 1745–1759, 1965.
- [3] D. Slepian, “On Bandwidth.”, Proceedings of the IEEE 64, 3, 1976.
- [4] D. Slepian, “Prolate Spheroidal Wave Functions, Fourier Analysis and Uncertainty V: The Discrete Case”, Bell Syst. Tech. J. 57, 2, 1371–1430, 1978.
- [5] F. J. Simons, F. A. Dahlen, and M. A. Wieczorek, “Spatiospectral Concentration on a Sphere”, SIAM Review 48, 3 (January), 504–536, 2006.
- [6] F. J. Simons, J. C. Hawthorne, and C. D. Beggan, “Efficient analysis and representation of geophysical processes using localized spherical basis functions”, In Wavelets XIII, V. K. Goyal, M. Papadakis, and D. Van De Ville, Eds. Vol. 7446. SPIE, San Diego, CA, USA, 74460G15, 2009.
- [7] F. J. Simons, “Slepian functions and their use in signal estimation and spectral analysis”, Handbook of Geomathematics, Eds. Thomas Sonar, Zuhair M. Nashed, and Willi Freeden. Heidelberg, Germany: Springer, 891-923, 2010.
- [8] H. Etemadfard, M. M. Hossainali, “Spherical Slepian as a New Method for Ionospheric Modeling in Arctic Region”, Journal of Atmospheric and Solar-Terrestrial Physics, under review, 2016.
- [9] H. Etemadfard, M. M. Hossainali,

“Application of Slepian Theory for Improving the Accuracy of Global Ionosphere Models in the Arctic Region”, J. Geophys. Res. Space Physics, 120, 2015.

[10] D. L. Donoho, P. B. Stark, “Uncertainty principles and signal recovery”, SIAM J. Appl. Math., 49, pp. 906–931, 1989.

[11] X. Liao, “Carrier Phase Based Ionosphere Recovery over a Regional Area GPS Network”, UCGE Reports, Number 20143, The University of Calgary, Calgary, Alberta, Canada, 2000.

[12] X. Liao, Y. Gao, “High-Precision ionosphere TEC Recovery Using a Regional Area GPS Network”, Navigation, Vol. 48, No. 2, 101-111, 2001.

[13] Website:  
<ftp://ftp.unibe.ch/aiub/CODE/2015/>

[14] Website:  
[http://www.epnccboma.be/\\_networkdata/statistonslist.php](http://www.epnccboma.be/_networkdata/statistonslist.php)

[15] Website:  
<http://chain.physics.unb.ca/chain/pages/statistons/>



## **Introduction of Spherical Slepian Spectral Combination and Its Investigation on Global and Regional Ionospheric Models**

Hosein Etemadfarde \*<sup>1</sup>, Masoud Mashhadi Hossainali <sup>2</sup>

1- PhD. Student, Faculty of Geodesy and Geomatics Engineering, K. N. Toosi University of Technology.

2- Associate Professor in Geodesy, Faculty of Geodesy and Geomatics Engineering, K. N. Toosi University of Technology.

### **Abstract**

Lack of interaction and ability to combine between ionosphere models are important problems among them. This study has investigated the interaction between global and regional ionospheric models which are according to the base mathematical functions. Here, spherical Slepian base functions have been suggested for spectral combination. They can be defined in global and regional scales. Two sets of coefficient were assumed for spherical Slepian base function. One set (direct model) is extracted from the direct observation of GPS stations. Another set (indirect model) is derived from spherical harmonic products of Global Ionosphere Models (GIMs). GIM's efficiency has been modified on a sub-space which was equal to previous set. Maximum degree has considered equal to 15 for implementation of spherical Slepian spectral combination theory. Also, the Arctic region has been taken as study area where it is the spherical cap by latitude upper than 60 degrees. Observations of three GPS stations are used for evaluation of models. They have not contributed for direct and indirect modelling. Root Mean Square of Errors (RMSEs) for GIMs, direct, indirect and combining models are equal to 3.7, 2.2, 1.9, 1.4 TECU, respectively. In other words, results show that combining method has improved the ionospheric modelling here. The combining method can decrease the effects of the lack of stations in the indirect model and the inappropriate distribution of stations in the direct one. Therefore, the RMSE of the combining model is less than other models in the Arctic region.

**Key words:** Spectral Combination, Spherical Slepian, Ionosphere

---

**Correspondence Address** No. 1346, ValiAsr Street, Mirdamad cross, Geomatics Engineering Faculty, K.N. Toosi University of Technology, Tehran, Iran  
Tel +98 21 88786212.  
Email: hossein\_etemadfarde@yahoo.com